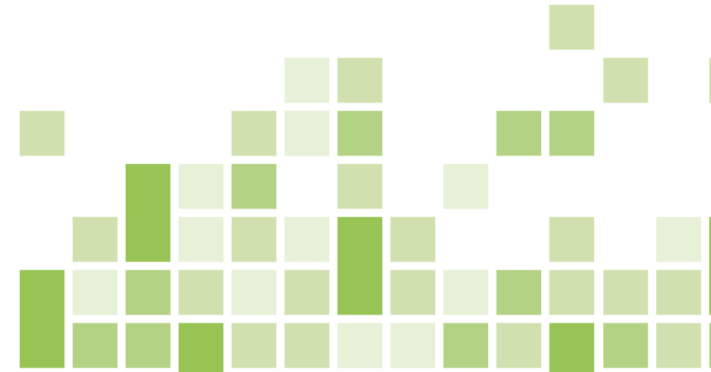




ТОМСКИЙ
ПОЛИТЕХНИЧЕСКИЙ
УНИВЕРСИТЕТ



МАТЕМАТИЧЕСКОЕ МОДЕЛИРОВАНИЕ ФИЗИЧЕСКИХ
ПРОЦЕССОВ
ЛЕКЦИЯ №9
«Многошаговые методы решения дифференциальных
уравнений»

Отделение ядерно-топливного цикла

Лектор:
Зав. каф. - руководитель ОЯТЦ ИЯТШ
Горюнов А.Г.

2020

План лекции

9.1 Многошаговые методы решения задачи Коши

9.2 Проблема численной устойчивости

9.3 Методы решения дифференциальных уравнений в Matab

9.4 Моделирование динамических систем, описываемых системами ОДУ в Simulink

Информация по курсу:

<https://portal.tpu.ru/SHARED/a/ALEX1479/study/Matmod/Tab>

9.1 Многошаговые методы решения задачи Коши

9.1.1 Общая схема многошаговых методов

В одношаговых методах решения задачи Коши для одного уравнения:

$$\begin{aligned} y' &= f(x, y), \quad x \in [a, b] \\ y(a) &= y_0, \end{aligned} \quad (9.1)$$

значение y_{i+1} зависит только от информации о решении в предыдущей точке сетки x_i , $i = 0, 1, 2, \dots$

Принято считать, что можно добиться повышения точности, если использовать информацию о решении в нескольких предыдущих точках сетки $x_i, x_{i-1}, x_{i-2}, \dots$. Также бывает, что целесообразным привлекать информацию с забеганием вперед за точку x_{i+1} . Подобные методы называются **многошаговыми** и могут быть получены несколькими способами.

Общая схема многошаговых методов имеет вид:

$$y_{n+k} = F(f, x_{n+k}, x_n, y_{n+k}, y_{n+k-1}, \dots, y_n), \quad (9.2)$$

где значение приближенного решения y_{n+k} в точке x_{n+k} определяется через значения решения в k точках, предшествующих x_{n+k} .

9.1.1 Общая схема многошаговых методов

Метод (9.2) называется k - шаговым. Из класса методов (9.2) можно выделить класс **линейных многошаговых методов**:

$$\sum_{i=0}^k \alpha_i y_{n+i} = h \sum_{i=0}^n \beta_i f(x_{n+i}, y(x_{n+i})), \quad n = 0, 1, 2, \dots, \quad (9.3)$$

где α_i и β_i – постоянные, $\alpha_k \neq 0$, $|\alpha_0| + |\beta_0| \neq 0$. Равенство (9.3) устанавливает линейное соотношение между y_{n+i} и $f(x_{n+i}, y(x_{n+i}))$.

9.1.2 Методы прогноза и коррекции.

Для того чтобы вычислить последовательность приближённых значений y_n , необходимо сначала получить k начальных значений y_0, y_1, \dots, y_{k-1} . При $\beta_k = 0$, метод (9.3) называется **явным линейным k -шаговым**, причем приближение к решению y_{n+k} вычисляется просто. В случае, если $\beta_k \neq 0$ — метод называется **неявным линейным k -шаговым**, т.к. правая часть (9.3) содержит $f(x_{n+k}, y(x_{n+k}))$ и в общем случае необходимо решить нелинейное уравнение относительно $y(x_{n+k})$. Для реализации неявного метода можно равенство (9.3) представить в виде:

$$y_{n+i} = h \frac{\beta_k}{\alpha_k} f(x_{n+k}, y(x_{n+k})) + g_n, \quad \beta_k \neq 0, \quad (9.4)$$

где g_n содержит известные величины $f(x_{n+i}, y(x_{n+i}))$, $y(x_{n+i})$, $i = 0, 1, \dots, k - 1$.

9.1.2 Методы прогноза и коррекции

Доказано, что если:

$$h < \left| \frac{\alpha_k}{\beta_k} \right| \cdot \frac{1}{L}, \quad (9.5)$$

(L – константа Липшица*), то существует единственное решение y_{n+k} уравнения (9.4), которое можно получить с помощью итерационного процесса.

*Функция называется функцией Липшица в ограниченной области Ω , если она удовлетворяет условию Липшица. Условие Липшица состоит в том, что должно выполняться неравенство:

$$|f(x) - f(y)| \leq L \|x - y\| \quad \text{для всех } x, y \in \Omega, \|x\| - \text{норма,}$$

L - константа, которую называют константой Липшица.

Решение уравнения (9.4) можно получить с помощью итерационного процесса:

$$y_{n+k}^{\xi+1} = h \frac{\beta_k}{\alpha_k} f(x_{n+k}, y_{n+k}^{\xi}) + g_n, \quad \xi = 0, 1, \dots, \quad (9.6)$$

где y_{n+k}^0 произвольно. Выбор y_{n+k}^0 играет огромную роль в скорости сходимости итерационного процесса, поэтому для его вычисления используется явный многошаговый метод – **предсказывающий (предиктор)**, неявный метод (9.6) в этой цепке – **исправляющий (корректор)**.

9.1.3 Получение многошаговых методов

Многошаговые методы могут быть построены следующим образом. Исходное уравнение (9.1) для задачи Коши запишем в виде $dy(x) = f(x, y)dx$. Проинтегрируем обе части этого соотношения на отрезке $[x_i, x_{i+1}]$. Из левой части получаем:

$$\int_{x_i}^{x_{i+1}} dy(x) = y(x_{i+1}) - y(x_i) \approx y_{i+1} - y_i, \quad (9.7)$$

где y_{i+1}, y_i – сеточные значения искомой функции.

Для вычисления интегралов правой части сначала построим интерполяционный многочлен $P_{k-1}(x)$ степени $(k-1)$ для функции $f(x, y)$ на этом отрезке по значениям $f(x_{i-k+1}, y_{i-k+1}), f(x_{i-k+2}, y_{i-k+2}), \dots, f(x_i, y_i)$. Тогда интеграл правой части примет вид:

$$\int_{x_i}^{x_{i+1}} f(x, y) dx \approx \int_{x_i}^{x_{i+1}} P_{k-1}(x) dx. \quad (9.8)$$

Приравнявая (9.7) и (9.8), получаем формулу для определения неизвестного значения сеточной функции y_{i+1} в узле x_{i+1} :

$$y_{i+1} = y_i + \int_{x_i}^{x_{i+1}} P_{k-1}(x) dx. \quad (9.9)$$

На основе (9.9) можно строить различные многошаговые методы любого порядка точности. Порядок точности при этом зависит от степени $P_{k-1}(x)$, для построения которого используются значения сеточной функции $y_i, y_{i-1}, \dots, y_{i-k+1}$, вычисленные на k предыдущих узлах.

9.1.4 Семейство методов Адамса

Известны методы Адамса k -го порядка. Простейший из них при $k = 1$ повторяет метод Эйлера первого порядка точности. Метод четвертого порядка принято называть **методом Адамса**. Формулу для него получают следующим образом.

Должны быть известны в четырех последовательных узлах ($k = 4$) значения сеточной функции $y_{i-3}, y_{i-2}, y_{i-1}, y_i$ и вычисленные первоначально значения правой части (9.1) $f_{i-3}, f_{i-2}, f_{i-1}, f_i$. В качестве интерполяционного многочлена $P_3(x)$ применяют многочлен Ньютона. В случае $h = \text{const}$ конечные разности для правой части в узле x_i будут иметь вид:

$$\Delta f_i = f_i - f_{i-1};$$

$$\Delta^2 f_i = f_i - 2f_{i-1} + f_{i-2};$$

$$\Delta^3 f_i = f_i - 3f_{i-1} + 3f_{i-2} - f_{i-3}.$$

Тогда разностная схема метода Адамса запишется в виде:

$$y_{i+1} = y_i + h \cdot f_i + \frac{h^2}{2} \Delta f_i + \frac{5h^3}{12} \Delta^2 f_i + \frac{3h^4}{8} \Delta^3 f_i. \quad (9.10)$$

По сравнению с методом Рунге - Кутта той же точности можно отметить его экономичность, так как (9.10) требует на каждом шаге только один раз вычисление правой части в соотношении (9.1). Однако расчет здесь можно начать только с узла x_4 . Значения y_1, y_2, y_3 , необходимые для вычисления y_4 , необходимо определять одношаговым методом, что усложняет алгоритм вычисления. Кроме того, метод Адамса не позволяет изменять шаг h в процессе моделирования, что доступно для одношаговых методов.

9.1.5 Неявные многошаговые методы

В литературе неявные многошаговые методы называются методами **прогноза и коррекции** или (**методами предиктор - корректор**).

Принцип состоит в том, что на каждом шаге расчета вводятся два этапа, использующие многошаговые методы:

1) с помощью явного метода (**предиктора**) по известным значениям функции в предыдущих узлах находится начальное значение

$$y_{i+1} = y_{i+1}^{(0)}$$

в новом узле;

2) используя неявный метод (**корректора**) в результате итераций вычисляют приближения

$$y_{i+1}^{(1)}, y_{i+1}^{(2)}, \dots, y_{i+1}^{(k)}, y_{i+1}^{(k+1)}, \dots$$

Посредством корректора итерации продолжаются до тех пор, пока не будет достигнута желаемая точность, далее осуществляется переход к следующей точке сетки, т. е. по рассмотренному выше алгоритму определяется значение y_{i+2} .

9.1.5 Неявные многошаговые методы

Одним из вариантов метода прогноза и коррекции является метод на основе метода Адамса четвертого порядка.

Вид разностных соотношений **на этапе предиктора**:

$$y_{i+1} = y_i + \frac{h}{24}(55f_i + 59f_{i-1} + 37f_{i-2} - 9f_{i-3}); \quad (9.11)$$

на этапе корректора:

$$y_{i+1} = y_i + \frac{h}{24}(9f_{i+1} + 19f_i - 5f_{i-1} + f_{i-2}). \quad (9.12)$$

В (9.11) и (.12) используются значения правой части (9.1), а не значения конечных разностей. Явная схема (9.11) используется на каждом шаге лишь один раз, а с помощью неявной схемы (9.12) выполняется итерационный процесс вычислений y_{i+1} , поскольку это значение входит в правую часть выражения $f_{i+1} = f(x_{i+1}, y_{i+1})$.

В формулах (9.11) и (9.12), как и в случае метода Адамса, при вычислении y_{i+1} необходимы значения сеточной функции в четырех предыдущих узлах: y_{i-3} , y_{i-2} , y_{i-1} , y_i .

Расчет по этому методу может быть начат только со значения y_4 . Необходимые при этом значения y_1 , y_2 и y_3 вычисляются по методу Рунге - Кутта, y_0 задается начальным условием.

Метод Адамса легко распространяется на системы дифференциальных уравнений.

9.1.6 Повышение точности неявных методов

Точность можно повысить путем уменьшения значения шага h . Однако этот путь ограничен требованием экономичности, поскольку это требует существенного увеличения объема вычислений.

На практике часто для повышения точности численного решения без существенного увеличения машинного времени используется **метод Рунге**.

Суть **метода Рунге** состоит в том, что по одной и той же разностной схеме проводятся повторные расчеты с различными шагами. В соответствии с методом Рунге уточненное значение сеточной функции

$$y_h^*$$

в узлах сетки с шагом h вычисляется по формуле:

$$y_h^* = \frac{2^k y_{h/2} - y_h}{2^k - 1} + O(h^{k+1}).$$

Порядок точности этого решения равен $(k + 1)$, при этом, используемая разностная схема имеет порядок точности k , т. е. точность **повышается на порядок**.

9.2 Проблема численной устойчивости

Введем полином вида:

$$\rho(\theta) = \sum_{i=0}^k \alpha_i \theta^i \quad (9.13)$$

будем в дальнейшем называть его **характеристическим**.

Для неявного метода

$$y_{n+i} = h \frac{\beta_k}{\alpha_k} f(x_{n+k}, y(x_{n+k})) + g_n, \quad \beta_k \neq 0, \quad (9.4)$$

полная погрешность в узле x_n определяется разностью $y_n - y(x_n)$, $0 \leq n \leq N$. Если она стремиться к нулю при $h \rightarrow 0$, то **метод сходится**.

Метод из класса (9.3) **сходится**, если для каждой задачи (9.1)

$$y_n \rightarrow y(x) \text{ при } h \rightarrow 0, \quad n = \frac{x - x_0}{h}$$

для любых $x \in [x_0, x_k]$.

Каким условиям должен удовлетворять метод из класса (9.3)?

Прежде всего в качестве такого условия должен выступать минимальный уровень локальной точности.

9.2 Проблема численной устойчивости

Невязка ρ_{n+k} , которая получается после подстановки точного решения $y(x)$ дифференциального уравнения в разностное (9.3),

$$\rho_{n+k} = \sum_{i=0}^k \alpha_i y_{n+i} - h \sum_{i=0}^n \beta_i f(x_{n+i}, y(x_{n+i})), \quad (9.14)$$

имеет порядок $O(h^{s+1})$ и называется погрешностью аппроксимации. Число s называется порядком аппроксимации или **степенью разностного уравнения** (9.3), а $r_{n+k} = (\rho_{n+k})/h$ – погрешностью дискретизации.

Метод (9.3) является **согласованным**, если

$$\max_{0 \leq n \leq N} \|r_{n+k}\| \rightarrow 0 \text{ при } h \rightarrow 0$$

и имеет порядок согласованности s ,

$$\max_{0 \leq n \leq N} \|r_{n+k}\| = O(h^s)$$

9.2 Проблема численной устойчивости

Метод из класса (9.3) удовлетворяет **корневому условию**, если все корни характеристического полинома $p(\theta)$ лежат внутри единичной окружности или на самой окружности, причем те корни, которые лежат на единичной окружности, являются простыми.

Если метод **согласован**, то $p(\theta)$ обязательно имеет корень $\theta_1 = +1$.

Корни характеристического полинома классифицируются следующим образом:

$\theta_1 = +1$ – главный корень;

$|\theta_i| \leq 1, i = 2, 3, \dots, k$ – посторонние корни.

Метод удовлетворяющий корневому условию называют **нуль-устойчивым**.

Согласованность – определяет величину погрешности аппроксимации, **нуль-устойчивость** – определяет характер развития этой и других погрешностей в пределе при $h \rightarrow 0, Nh = x_k - x_0$.

Метод из класса (9.3) **сходится** тогда и только тогда, когда он является **согласованным** и **нуль-устойчивым**.

9.3 Методы решения дифференциальных уравнений в Matab

Для решения систем ОДУ:

$$\frac{d\vec{Y}}{dt} = \vec{F}(\vec{Y}, t) \quad (9.15)$$
$$\vec{Y}(t_0) = \vec{Y}_0$$

в MatLAB реализованы различные методы. Их реализации названы **решателями** ОДУ. Решатели реализуют следующие методы решения систем дифференциальных уравнений:

9.3.1 Нежесткие решатели

<code>ode45</code>	Решение нежестких дифференциальных уравнений — метод среднего порядка точности
<code>ode23</code>	Решение нежестких дифференциальных уравнений — метод низкого порядка точности
<code>ode113</code>	Решение нежестких дифференциальных уравнений — метод переменного порядка точности

9.3 Методы решения дифференциальных уравнений в Matab

Для решения систем ОДУ:

$$\frac{d\vec{Y}}{dt} = \vec{F}(\vec{Y}, t) \quad (9.15)$$

$$\vec{Y}(t_0) = \vec{Y}_0$$

в MatLAB реализованы различные методы. Их реализации названы **решателями** ОДУ. Решатели реализуют следующие методы решения систем дифференциальных уравнений:

9.3.1 Нежесткие решатели

ode45	Решение нежестких дифференциальных уравнений — метод среднего порядка точности
ode23	Решение нежестких дифференциальных уравнений — метод низкого порядка точности
ode113	Решение нежестких дифференциальных уравнений — метод переменного порядка точности

9.3.1 Нежесткие решатели

ode45 – одношаговые явные методы Рунге-Кутты 4-го и 5-го порядка {начальное пробное решение}. Во многих случаях он дает хорошие результаты;

ode23 – одношаговые явные методы Рунге-Кутты 2-го и 3-го порядка. При умеренной жесткости системы ОДУ и низких требованиях к точности этот метод может дать выигрыш в скорости решения;

ode113 – многошаговый метод Адамса-Башворта-Мултона переменного порядка. Это адаптивный метод, который может обеспечить высокую точность решения.

9.3.2 Жесткие решатели

<code>ode15s</code>	Решение жестких дифференциальных уравнений и ДАУ — метод переменного порядка точности
<code>ode23s</code>	Решите жесткие дифференциальные уравнения — метод низкого порядка точности
<code>ode23t</code>	Решение умеренно жестких ОДУ и ДАУ — метод трапеций
<code>ode23tb</code>	Решение жестких дифференциальных уравнений — метод трапеций + формула дифференцирования назад

ode15s – многошаговый метод переменного порядка (от 1-го до 5-го, по умолчанию 5), использующий формулы численного дифференцирования. Это адаптивный метод, его стоит применять, если решатель `ode45` не обеспечивает решения;

ode23s – одношаговый метод, использующий модифицированную формулу Розенброка 2-го порядка. Может обеспечить высокую скорость вычислений при низкой точности;

ode23t – метод трапеций с интерполяцией. Этот метод дает хорошие результаты при решении задач, описывающих осцилляторы с почти гармоническим выходным сигналом;

ode23tb – неявный метод Рунге-Кутты в начале решения и метод, использующий формулы обратного дифференцирования 2-го порядка в последующем. При низкой точности этот метод может оказаться более эффективным, чем `ode15s`.

9.3.3 Синтаксис ODE на примере ode45

(<https://docs.exponenta.ru/matlab/ref/ode45.html>)

Синтаксис:

[\[t,y\] = ode45\(odefun,tspan,y0\)](#)

[\[t,y\] = ode45\(odefun,tspan,y0,options\)](#)

Описание:

[t,y] = ode45(odefun,tspan,y0),

где tspan = [t0 tf],

интегрирует систему дифференциальных уравнений $y'=f(t,y)$ от t0 к tf с начальными условиями y0. Каждая строка в массиве решения y соответствует значению, возвращенному в вектор-столбце t

[t,y] = ode45(odefun,tspan,y0,options)

использует настройки интегрирования, заданные options – структура опции. Option создается с использованием функции odeset. Например, используйте AbsTol и RelTol опции, чтобы задать допуски абсолютной и относительной погрешности.

Например:

```
options = odeset('RelTol',1e-8,'AbsTol',1e-10);
```

9.3.4 Пример решения обыкновенного дифференциального уравнения в Matlab

Найдем численное и аналитическое решение задачи Коши для дифференциального уравнения на интервале $[0,1]$:

$$\frac{dy}{dx} = x^3 - 2y \quad (9.16)$$

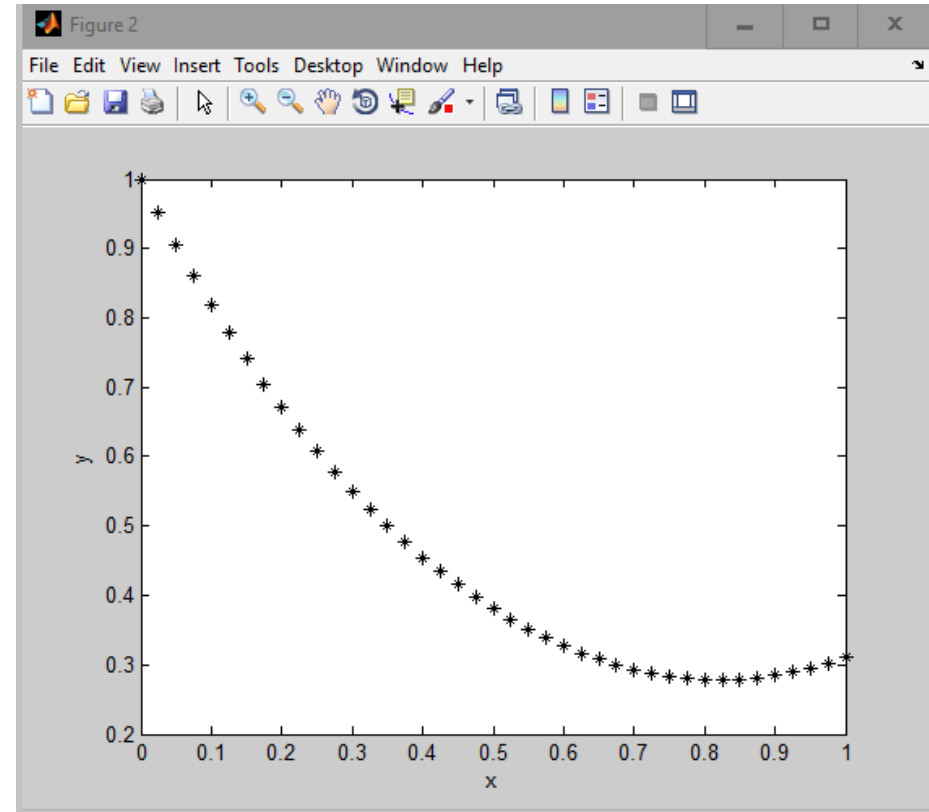
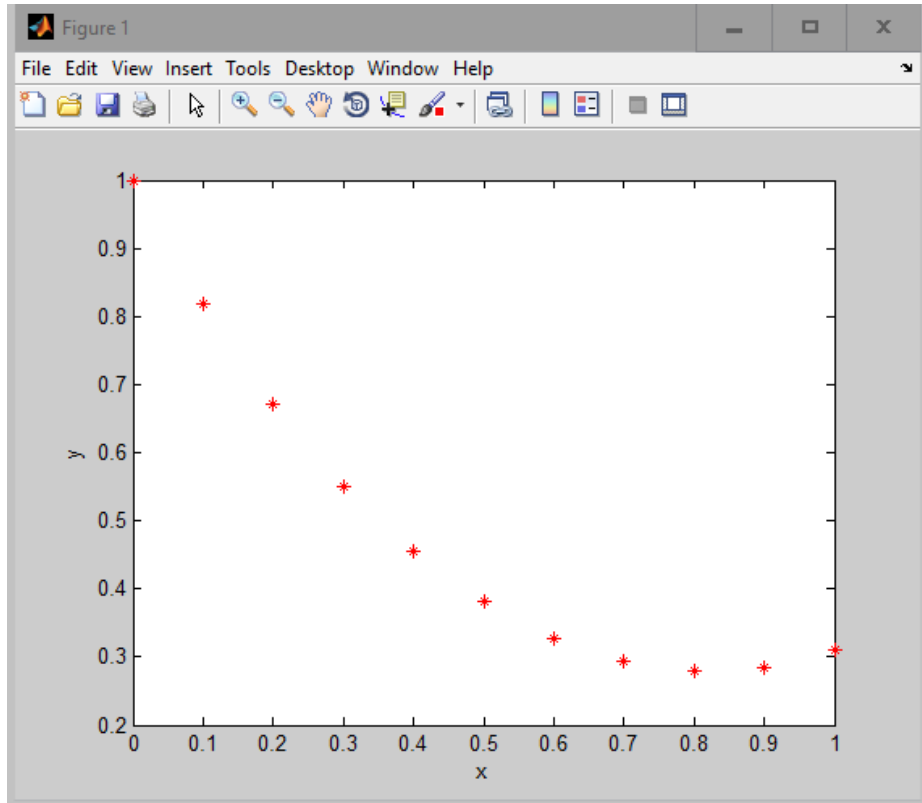
$$y(0) = 1$$

```

1 -   clc;
2 -   %Определяем частное решение диф.ур. при y(0) = 0 (решение задачи Коши)
3 -   FDY = dsolve('Dy = x^3 - 2*y', 'y(0) = 1', 'x')
4 -   v = symvar(FDY); % получаем список переменных
5 -   dya = @(X) double(subs(FDY,v,X)); % создаем функцию-аналитического решения
6 -   % % Решаем на интервале [0,1] по x
7 -   x = 0:0.1:1;
8 -   y0 = 1;
9 -   n = length(x);
10 -  ya = dya(x);
11 -  plot(x,ya,'r*');
12 -  %Решаем встроенным решателем ode45
13 -  tspan = [x(1) x(n)]; % решаем на интервале [0,1]
14 -  options = odeset('RelTol',1E-3);
15 -  [xx,y] = ode45(@(xx,y) xx^3 - 2*y, tspan,y0,options);
16 -  figure; plot(x,ya,'r*',xx,y,'k*');

```

9.3.4 Пример решения обыкновенного дифференциального уравнения в Matlab



9.3.5 Пример решения жесткого дифференциального уравнения в Matlab 21

Рассмотрим пример из литературы, относящийся к динамике. Предположим, что есть частица, с координатами $(x(t), y(t))$, и требуется чтобы ее y -координата всегда оставалась равной нулю. Один из способов добиться этого — добавить слагаемое $-k \cdot y(t)$, к производной $y'(t)$, где k — большая положительная постоянная. Если k достаточно велико, то частица никогда не уйдет далеко от $y(t) = 0$, так как слагаемое $k \cdot y(t)$ всегда приведет $y(t)$ обратно к нулю. Для того, чтобы перемещать частицу как угодно вдоль оси x необходимо дифференциальное уравнение следующего вида:

$$\dot{X}(t) = \begin{cases} \frac{dx(t)}{dt} = -x(t) \\ \frac{dy(t)}{dt} = -k \cdot y(t) \end{cases} = \begin{pmatrix} -x(t) \\ -k \cdot y(t) \end{pmatrix} \quad (9.16)$$

Предполагаем, что $y_0 \neq 0$. В этом случае частица будет сильно притягиваться к прямой $y = 0$, и менее сильно — к $x = 0$. Если решать ОДУ на достаточно продолжительном интервале времени, то частица рано или поздно попадет в точку $(0,0)$ и останется в ней.

9.3.5 Пример решения жесткого дифференциального уравнения в Matlab 22

Рассмотрим пример из литературы, относящийся к динамике. Предположим, что есть частица, с координатами $(x(t), y(t))$, и требуется чтобы ее y -координата всегда оставалась равной нулю. Один из способов добиться этого — добавить слагаемое $-k \cdot y(t)$, к производной $y'(t)$, где k — большая положительная постоянная. Если k достаточно велико, то частица никогда не уйдет далеко от $y(t) = 0$, так как слагаемое $k \cdot y(t)$ всегда приведет $y(t)$ обратно к нулю. Для того, чтобы перемещать частицу как угодно вдоль оси x необходимо дифференциальное уравнение следующего вида:

$$\dot{X}(t) = \begin{cases} \frac{dx(t)}{dt} = -x(t) \\ \frac{dy(t)}{dt} = -k \cdot y(t) \end{cases} = \begin{pmatrix} -x(t) \\ -k \cdot y(t) \end{pmatrix} \quad (9.16)$$

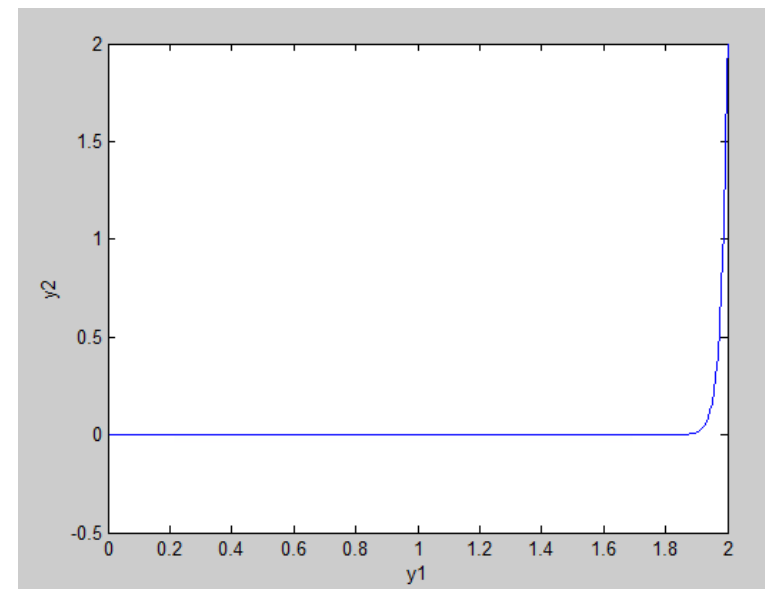
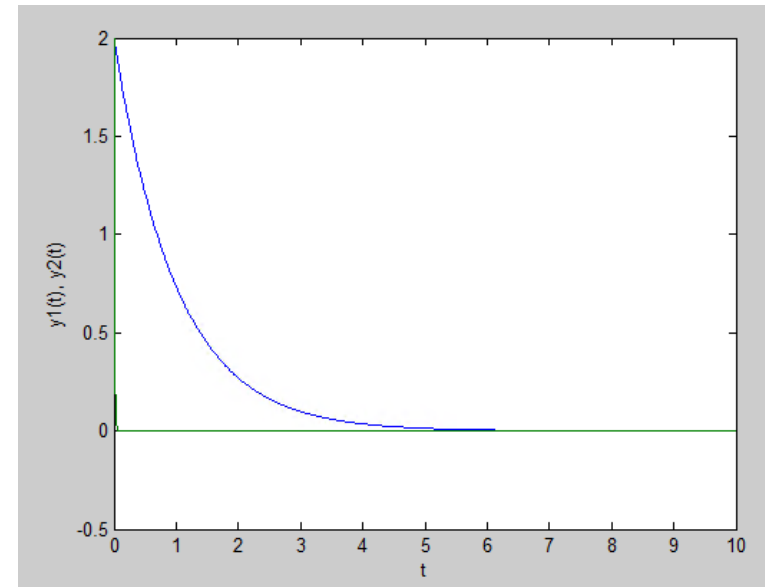
Предполагаем, что $y_0 \neq 0$. В этом случае частица будет сильно притягиваться к прямой $y = 0$, и менее сильно — к $x = 0$. Если решать ОДУ на достаточно продолжительном интервале времени, то частица рано или поздно попадет в точку $(0,0)$ и останется в ней.

9.3.5 Пример решения жесткого дифференциального уравнения в Matlab

23

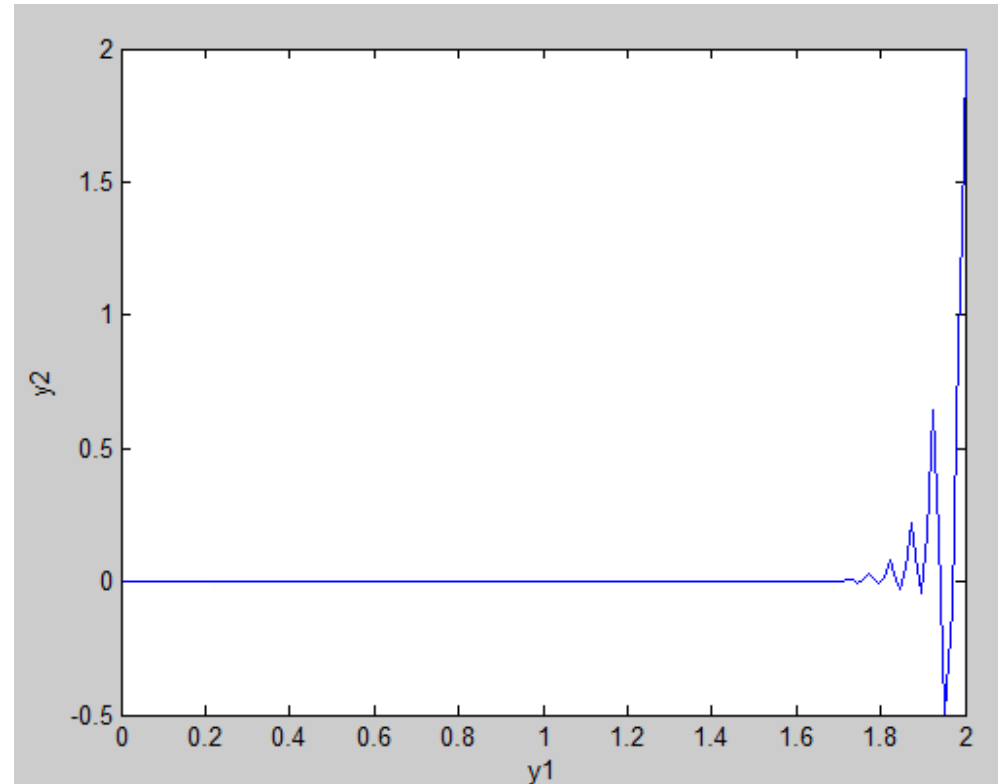
```
f2.m x
1 function dydt = f2(t,y)
2     k = 100;
3     dydt = zeros(2,1);
4     dydt(1) = -y(1);
5     dydt(2) = -k*y(2);
```

```
1 clc;
2 y0 = [2 2];
3 tspan = [0 10];
4 options = odeset('RelTol',1E-2);
5 [t,y] = ode45(@f2,tspan,y0,options);
6 n = length(y);
7 XX = [];
8 YY = [];
9 for i=1:n
10     XX(i) = y(i,1);
11     YY(i) = y(i,2);
12 end
13 plot(t,y);
14 figure;plot(XX,YY);
```



9.3.5 Пример решения жесткого дифференциального уравнения в Matlab (увеличиваем допустимую ошибку до 1%)

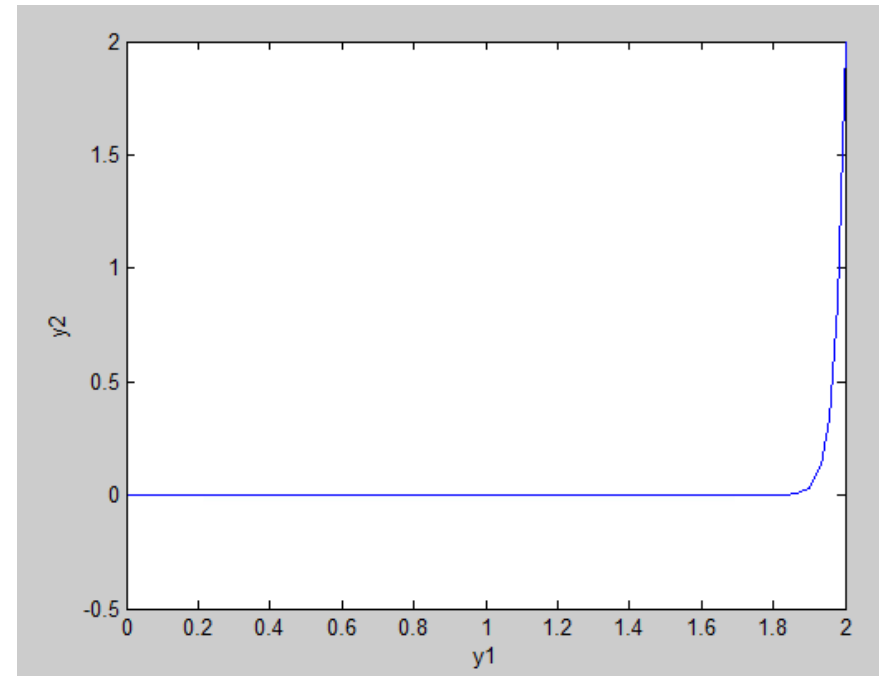
```
1 - clc;  
2 - y0 = [2 2];  
3 - tspan = [0 10];  
4 - options = odeset('RelTol', 1);  
5 - [t,y] = ode45(@f2,tspan,y0,options);  
6 - n = length(y);  
7 - XX = [];  
8 - YY = [];  
9 - for i=1:n  
10 -     XX(i) = y(i,1);  
11 -     YY(i) = y(i,2);  
12 - end  
13 - plot(t,y);  
14 - figure;plot(XX,YY);
```



9.3.5 Пример решения жесткого дифференциального уравнения в Matlab

(увеличиваем допустимую ошибку до 1%, ode15s)

```
1 - clc;
2 - y0 = [2 2];
3 - tspan = [0 10];
4 - options = odeset('RelTol',1);
5 - [t,y] = ode15s(@f2,tspan,y0,options);
6 - n = length(y);
7 - XX = [];
8 - YY = [];
9 - for i=1:n
10 -     XX(i) = y(i,1);
11 -     YY(i) = y(i,2);
12 - end
13 - plot(t,y);
14 - figure;plot(XX,YY);
```



9.4 Моделирование динамических систем, описываемых системами ОДУ в Simulink

Simulink[®] является средой блок-схемы для многодоменной симуляции и Модельно-ориентированного проектирования. Поддерживает разработку системы, симуляцию, автоматическую генерацию кода, и непрерывный тест и верификацию встраиваемых систем. Simulink предоставляет графический редактор, настраиваемые библиотеки блоков и решатели для моделирования и симуляции динамических систем. Также обеспечивает интеграцию с MATLAB[®], позволив вам включить алгоритмы Matlab в модели и экспортировать результаты симуляции в MATLAB для последующего анализа.

1. Самостоятельно ознакомиться с пакетом расширения Simulink https://docs.exponenta.ru/simulink/getting-started-with-simulink.html?s_tid=CRUX_lftnav
2. Выполним моделирование системы (9.16) в Simulink

9.4 Моделирование динамических систем, описываемых системами ОДУ в Simulink

